

## — ポテンシャル・フローに基づく人口動態解析手法の提案 —

九州大学工学部 学生員 永尾 祐治

九州大学工学部 正会員 橋本 武

九州大学工学部 学生員 河野 雅也

1. まえがき 都市における人口動態は、周知のごとく、自然増と社会増に大別される。このうち、自然増に関しては、各地域の人口や年令構成等によりある程度推察することができる可能性があり、また、時系列的な分析により把握することも困難ではない。一方、社会増は、さらに他地域からその地域へ流入する人口と、自地域内で流動する人口とがある。前者は、その地域の地域構造や、全体的な経済変動等による影響を受けるもので、自地域内の人団動態と性質を異にする。また後者は、例えば都心から郊外に住宅立地を求めるなどにより移動する人口動態成分であり、各ゾーンの特質により特徴づけられるものと考えられる。

本研究は、都市人口動態を上述の3成分に分け、自然増、及び社会増のうち他地域からの流入出に関しては、外生的な負荷として取り扱い、たゞ、自地域内の各ゾーンにおける人口動態をポテンシャル・フロー的に把握するための解析理論の確立を企図するものである。

2. 解析理論 図-1のように、対象地域に基準直交座標系 $x, y$ を導入し、その微小要素 $dxdy$ 内の人口 $Ddxdy$ に対する出生、死亡、並外部流入出と境界よりのポテンシャル・フロー的な人口移動と、人口の流入出に関する收支を考えれば、次の連続方程式が得られる。

$$-\frac{\partial(D)}{\partial x} - \frac{\partial(D)}{\partial y} + (\alpha - \beta + \gamma)D = \frac{\partial D}{\partial t} \quad (1) \quad \text{ここに } D(\text{人}) : \text{居住人口密度}, U_{xy}(m/\text{年}) : x, y \text{ 方向の人口移動速度成分}, \alpha(\text{年}) : \text{出生率}, \beta(\text{年}) : \text{死亡率}, \gamma(\text{年}) : \text{外部流入出率}$$

式(1)の人口移動速度成分 $U_{xy}$ は、地下水流れのDarcy則類似概念と、式(1)の解析上の簡易化とを配慮して、次の式(2)を仮定できるものとする。 $U_x = -\frac{R_x}{D} \frac{\partial D}{\partial x}, U_y = -\frac{R_y}{D} \frac{\partial D}{\partial y}$  (ここに $R_x, R_y$ は人口移動性係数と名付ける)すなまち、後述のように、 $R_x, R_y$ を各要素毎に変化させて調整する計算法をとることを踏まると、式(1)に関して、式(2)を仮定することも十分妥当であると考えられる。

式(2)を式(1)に代入すれば、本論の基礎微分方程式である式(3)が、次のように得られる。

$$R_x \frac{\partial^2 D}{\partial x^2} + R_y \frac{\partial^2 D}{\partial y^2} + (\alpha - \beta + \gamma) - \frac{\partial D}{\partial t} = 0 \quad (3)$$

式(3)を直接解くことは、境界の複雑性、 $R_x, R_y$ の局所的変化からして困難であるため、ここでは式(3)に対する汎関数として式(4)を仮定する。 $\Pi = \int_D [ \frac{1}{2} [ R_x (\frac{\partial D}{\partial x})^2 + R_y (\frac{\partial D}{\partial y})^2 ] - (\alpha - \beta + \gamma) D^2 ] + \gamma D dS$  (ここに $S$  : 解析領域) — (4)

式(3)の境界条件としては、次の2条件が考えられる。(i)境界の人口密度が既知である。 $D = D_0$  — (5)

(ii)境界を介して人口の移動量が押えられる。 $-UDx - VDy + \gamma = 0 \quad \therefore R_x \frac{\partial D}{\partial x} + R_y \frac{\partial D}{\partial y} + \gamma = 0$  — (6)

ここに $(l_x, l_y)$  : 境界線に対する辺上の法線の $x, y$ 軸に関する方向余弦、 $\gamma$  : 境界単位当たりの既知流入出量である(6)の条件のときは、式(4)に境界項として $\int_S \gamma D dS$  (ここに $S$  : 境界)を附加することになる。

さて、図-2に示すように、考察対象地域を三角形要素で区切り、要素内人口密度を、 $x, y$ による一次式と仮定する。 $D = [1 \ x \ y] [a_0 \ a_1 \ a_2]^T = xA_0 + yA_1 + A_2$

ここに $a_0, a_1, a_2$ は、次の式により定まる定数である。

$$\begin{pmatrix} a_0 \\ a_1 \\ a_2 \end{pmatrix} = \begin{pmatrix} 1 & x_i & y_i \\ 1 & x_j & y_j \\ 1 & x_k & y_k \end{pmatrix} \begin{pmatrix} D_i \\ D_j \\ D_k \end{pmatrix} = P^{-1} D \quad (8) \quad \begin{aligned} &\left( \text{但し, } (x_i, y_i) \text{ 等は基準直交座標系 } x, y \right. \\ &\left. \text{に対する三角形頂点座標値, } D_i \text{ 等は } \right. \\ &\left. \text{三角形頂点 } i, j, k \text{ 上における人口密度} \right) \end{aligned}$$

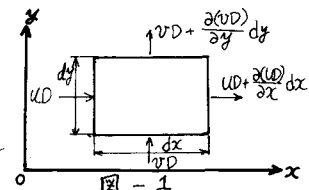


図-1

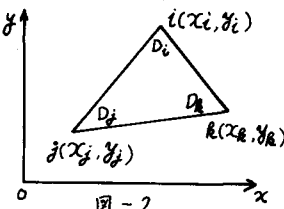


図-2

式(4)について、その変分方程式を求めると次の式(9)を得る。

$$\left(\frac{\partial \pi}{\partial D}\right)^e = \left[ k_1 \frac{\partial D}{\partial x} \left( \frac{\partial}{\partial D} \right)^e + k_2 \frac{\partial D}{\partial y} \left( \frac{\partial}{\partial D} \right)^e - (\alpha - \beta + \gamma) D \left( \frac{\partial D}{\partial D} \right)^e + \frac{\partial D}{\partial t} \left( \frac{\partial D}{\partial D} \right)^e \right] \text{exp}(-t) \quad (9) \quad (D \text{ は } D_c \text{ 等を示す})$$

式(7)及び式(8)を式(9)に代入の上、式(9)の各項を計算すれば、次式を得る。

$$\left\{\frac{\partial \pi}{\partial u}\right\}^e = \left( \frac{k_x}{4\Delta} B - \frac{k_y}{4\Delta} C - \frac{(k_x - k_y)}{48\Delta} E \right) D^e + \frac{E}{48\Delta} \frac{\partial D^e}{\partial t} \quad (40)$$

ここに、 $B, C, E$ : 三角形要素頂点の座標( $x_i, y_i$ )等によって構成されるマトリックス、 $\Delta$ : 三角形の面積

$$\text{ここで } \frac{R_2}{4\Delta}IB + \frac{R_2}{4\Delta} - \frac{(L-\theta+\delta)}{48\Delta}IE = 0, \quad \frac{IE}{48\Delta} = h \text{ とおけば、} \left(\frac{\partial I}{\partial D}\right)^e = gD^e + h \frac{\partial D^e}{\partial t} \quad \text{--- (41)}$$

よって解析領域全体で集積すると次式が得られる。  $GID + H \frac{\partial D}{\partial E} = 0$  — (12)

ここに左側：領域全体で各々引出しを集積したもの、右側：領域全体のDiのベクトル

境界線  $\Gamma$  および DDS については、2 頂点間ごとが直線変化し、すなはちその面にそって一定であるものと仮定することにより次のように得られる。  $\left\{ \frac{\partial}{\partial x} (\Gamma, \text{DDS}) \right\}^2 = \left\{ \frac{\frac{\partial \Gamma}{\partial x}}{\frac{\partial \Gamma}{\partial y}} \right\}^2 \quad (\text{ここに } L: \text{境界長})$

さて式(12)に対して Crank-Nicolson 法を適用するものとする。すなわち式(12)を  $(t + \Delta t)$  において立てて計算すると、式(13)が得られる。 $(EG + \frac{1}{\Delta t}IH)ID^{t+\Delta t} = -\{(1-E)G + \frac{1}{\Delta t}IH\}ID^t$  — (13) (ここに  $t$  は  $0 \leq t \leq 1$  なる定数) 式(13)が本題解析の基本連立方程式となるものであり、当該時間段階の境界密度や出生、死亡、村外部流出入率及び前時間段階の人口密度が与えられれば、本式を解くことにより、 $\Delta t$  時間後の各要素頂点の人口密度を求められることになる。 $R_x, R_y$ についても、具体的に数値を与えることは難しいので、これを次のように算定する。すなわち式(13)を、 $\frac{\partial ID}{\partial t} = \frac{1}{\Delta t} [B - C] \{EID^{(t+\Delta t)} + (1-E)ID^t\} - \frac{(k_B + k_T)}{4\pi A} EID^{(t+\Delta t)} + (1-E)ID^t + \frac{1}{\Delta t} (D^t - ID^{(t+\Delta t)})$  — (4) と変形し、全体で集積すると、式(4)が得られる。 $AK + Q = 0$  — (15) ここに  $A$ : 式(4)の左項の  $\{ID\}$  の係数マトリクスを全体で集積したもの、 $Q$ : 式(4)の右2項と右3項の和を全体で集積したもの、 $IK = (R_x, R_y)$  で構成されるマトリクス(15)は、 $R_x, R_y$ を未知数とする連立方程式であるが、未知数  $R_x, R_y$  の数は、一般に式の数よりも少ない。(したがって、最小二乗法等により、 $R_x, R_y$  が求められることになる)。以上のようにして、各要素頂点の人口密度が求まると、式(1)を用いて三角形要素内全体を積分し、要素の総人口の予測値が求められることになる。

3. 適用例 福岡市南区及び中央区の一部を例として示せば、次のとおりである。すなはち国勢調査にもとづき、昭和45年度及び50年度の人口密度より、式(15)を用いて、 $\lambda_{ij}(t)$ を算出した。その結果は、表-1に示すとおりであり、これらを用いて昭和49年度のデータから、昭和50年度における人口密度の計算値を算出し、昭和50年度のデータと比較すれば、表-2に示すとおりで、表中の値は、境界密度を除えた点を除いた残りの点の値を示している。また表-2の値によるデータと計算値の平均、標準偏差及びその相関係数を示したのが表-3でこれによると、データと計算値の間にかなり高い相関が得られており、本論の妥当性を立証するものである。

表-1  $\beta_{xz}, \beta_{yz}$  の算定値 単位:  $\text{km}^2/\text{年}$

$R_x, R_y$ に対する 分割地域	1	$2.777 \times 10^1$ $2.419$	2	$-2.369$ $-5.302 \times 10^1$	3	$3.077$ $-5.765 \times 10^1$
	4	$-1.752 \times 10^0$ $5.093$	5	$5.856$ $3.556$	6	$-2.719$ $5.662 \times 10^1$
	7	$2.462$ $1.619$	8	$-1.701 \times 10^1$ $-7.212$	9	$7.907$ $3.360$
	10	$7.498 \times 10^1$ $1.814$	11	$-1.480$ $-9.712$	12	$2.021 \times 10^1$ $1.131$
	13	$-5.127$ $6.692$				

表-3 人口密度に関するデータ計算値 単位： $\text{人}/\text{km}^2$

点	9	10	11	12	17	18	19
データ	8626	8478	8815	12533	9153	9274	7680
計算値	7737	7726	9676	12346	7443	8372	7396
22	23	24	26	27			
6333	7974	9929	6026	4804			
6579	7606	8028	5587	4423			

表-3 データ計算値の平均、標準偏差と相関係数		
	データ	計算値
平均	8302	7743
標準偏差	1924	1886
相関係数		0.927

備考: データと計算値には、境界密度は除いています。